

Математическая модель взаимодействия факельного разряда с пленочными элементами

Д.Н. Новомейский¹, М.Н. Пиганов¹

¹Самарский национальный исследовательский университет им. академика С.П. Королева, Московское шоссе 34А, Самара, Россия, 443086

Аннотация. Описан процесс взаимодействия факельного разряда с резистивной пленкой, рассмотрено уравнение теплового баланса, на основе которого с учетом экспоненциальной зависимости электропроводности от температуры построена математическая модель взаимодействия факельного разряда с резистивной пленкой, также рассмотрен процесс повышения точности математической модели взаимодействия факельного разряда с резистивной пленкой.

1. Введение

Для обработки пленочных структур с целью изменения их геометрических или электрофизических характеристик широко используются различные виды разрядов [1, 2]. Например для подгонки тонко- и толстопленочных резисторов зарекомендовал себя высокочастотный факельный разряд (ВЧФР) [3, 4]. Такая подгонка резистивных элементов вносит малое возмущение в их параметры. Это связано с тем, что температура в канале ВЧФР не превышает 4500К. При взаимодействии ВЧФР с пленочным элементом локальный участок обработки будет представлять собой совокупность зон с различными фазовыми и переходными состояниями вещества резистивной пленки. Схематическое изображение этих зон с учетом [5] приведено на рисунке 1, где показано взаимодействие факела и пленки в определенный момент времени. Зона I представляет собой зону испаренного вещества пленки, а зона II — область интенсивного испарения. Данные участки различаются лишь концентрацией частиц испаряемого вещества. В зоне IV происходит плавление материала пленки, а область III представляет собой переходную зону от жидкой до газообразной фаз вещества, пленки, где происходит его дальнейшее нагревание. При этом, тепло, ушедшее в стенки, расходуется не только на плавление, но и отводится теплопроводностью вглубь материала пленки, поэтому для увеличения достоверности результатов учтём влияние теплопроводности металлической пленки в виде наличия зоны V, в которой происходит спад температуры от точки плавления до температуры окружающей среды в сторону периферийных участков пленки. Необходимо отметить, что границы зон показаны условно, характер их изменения с течением времени на рисунке также не отражен.

При составлении математической модели необходимо учесть свободную конвекцию вдоль оси разряда и излучение оболочки факела в окружающее пространство.

Математическая интерпретация теплового баланса должна учитывать тот факт, что часть энергии передается от ВЧФР через резистивную пленку подложке. Однако учет подложки сильно усложняет математическое исследование температурного поля, и получение аналитического решения становится весьма проблематичным. В связи с этим влияние подложки в математической модели не будет отражено.

При построении математической модели не будем учитывать уровень интегрального излучения, зависимость некоторых физико-химических процессов от давления, а также пинч-эффект (эффект самостоятельного разряда).

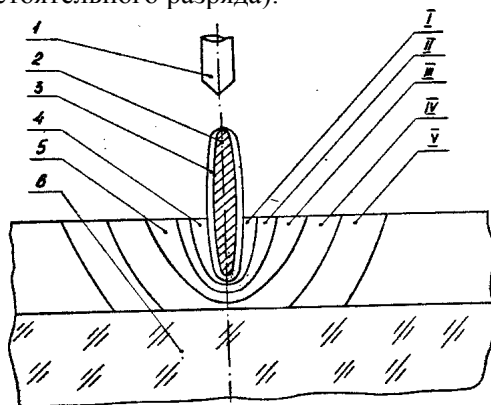


Рисунок 1. Схема взаимодействия факельного разряда с толстой резистивной пленкой: 1—электрод; 2—канал факела; 3—оболочка факела; 4—кратер; 5—пленка; 6—подложка; I—V — участки резистивной пленки в зоне взаимодействия [6, 7].

При построении модели будем использовать цилиндрическую систему координат с началом в точке пересечения оси факела с внешней плоской границей пленки. Ось Z совместим с осью ВЧФР, при этом за положительное направление оси выберем направление распространения разряда. Эта система координат удобна тем, что ни одна из физических характеристик в этом случае не зависит от угла Θ [6].

В общем случае уравнение теплового баланса имеет вид (для ВЧФР с учетом вышеуказанной системы координат в свободном пространстве):

$$\operatorname{div}(\lambda_{\phi} \operatorname{grad} T_Z) = \sigma \cdot E^2 - C_e \rho_e \left(V_Z \frac{\partial T_Z}{\partial Z} + V_r \frac{\partial T_Z}{\partial Z} \right), \quad (1)$$

где член $C_e \rho_e \tau \left(V_Z \frac{\partial T_Z}{\partial Z} + V_r \frac{\partial T_Z}{\partial Z} \right)$ учитывает свободную конвекцию вдоль оси разряда и ее радиальную составляющую.

Для случая взаимодействия ВЧФР с резистивной пленкой уравнение баланса будет иметь вид:

$$\operatorname{div}(\lambda_{\phi} \operatorname{grad} T_Z) = \sigma \cdot E^2 - C_e \rho_e \left(V_Z \frac{\partial T_Z}{\partial Z} + V_r \frac{\partial T_Z}{\partial Z} \right) - \sum_{i=1}^6 P_i. \quad (2)$$

Здесь P_1 — мощность излучения оболочки факела в окружающую среду; P_2 — мощность, расходуемая на испарение вещества пленки; P_3 — мощность, расходуемая на нагрев в зонах I, II (рисунок 1) от T_n до T_u ; P_4 — мощность, идущая на плавление материала резистивной пленки в зонах I–IV; P_5 — мощность, идущая на нагрев в зонах I–IV от T_i до T_n ; P_6 — мощность, расходуемая на нагрев резистивной пленки в зоне V.

В связи с громоздкостью выражений, учитывающих химические и механические взаимодействия частиц на молекулярном уровне, исключим их из расчета, поскольку их удельный вес по сравнению с другими членами модели очень мал.

Левую часть уравнения (1) представим для нашего случая в виде:

$$\operatorname{div}(\lambda_{\phi} \operatorname{grad} T_Z) = \frac{1}{r} \frac{\partial}{\partial r} \left[r \lambda_{\phi} \frac{\partial T_Z}{\partial r} \right] + \frac{\partial}{\partial z} \left(\lambda_{\phi} \frac{\partial T_Z}{\partial z} \right), \quad (3)$$

или, с учетом [8, 9]:

$$\operatorname{div}(\lambda_{\phi} \operatorname{grad} T_Z) = \rho_e C_e V_Z \frac{\partial T_Z}{\partial Z} + \rho_e C_e V_Z \frac{\partial V_Z}{\partial Z} \left(\lambda_{\phi} \frac{\partial T_Z}{\partial Z} \right). \quad (4)$$

Пусть осевая составляющая скорости конвекционного потока есть величина постоянная. В этом случае $\frac{\partial V_Z}{\partial Z} = 0$. Тогда левая часть уравнения (3) с учетом (4) примет вид:

$$\text{div}(\lambda_\phi \text{grad} T_Z) \tau = \rho_\epsilon C_\epsilon V_Z \tau \frac{\partial T_Z}{\partial Z} + \frac{\partial}{\partial Z} \left(\lambda_\phi \frac{\partial T_Z}{\partial Z} \right). \quad (5)$$

Нашей задачей является нахождение зависимости распределения $T(z)$ вдоль оси канала, т.е. вдоль оси Z без учета радиальной составляющей.

С учетом экспоненциальной зависимости электропроводности от температуры нами ранее было получено следующее выражение математической модели [6]:

$$\begin{aligned} \frac{\partial}{\partial Z} \left(\lambda_\phi \frac{\partial T_Z}{\partial Z} \right) = & aE^2 e^{bT_Z} - 2\rho_\epsilon C_\epsilon V_Z \frac{\partial T_Z}{\partial Z} - \epsilon C_0 \phi S_{0\phi} 10^{-8} (T_\phi^4 - T_0^4) - \\ & - \frac{\rho_R h S_u}{\tau_0} [L_u + C_{nR} (T_u - T_n)(1 + k_{Hn})] - [L_n + C_R (T_n - T_0)] \frac{\rho_R h S_u}{\tau_0} \times \\ & \times (1 + k_{Hn} + k_n) + 2\pi h T_0 \ln \frac{4h}{R_u + R_n} [C_R \rho_R (R_H - R_n)]^2 \times \\ & \times \left[1 - C_R \rho_R \frac{1}{\lambda_R} (R_H - R_n) \ln \frac{4h}{R_u + R_n} \right]^{-1}. \end{aligned} \quad (6)$$

Дифференциальное уравнение (6) аналитически в таком виде неразрешимо. Поэтому заменим выражение $aE^2 e^{bT_Z}$ бесконечным рядом:

$$aE^2 e^{bT_Z} = \sum_{i=0}^{\infty} aE^2 \frac{(e^{bT_Z})^n}{n!} = aE^2 \left(1 + \frac{bT_Z}{1} + \frac{b^2 T_Z^2}{2} + \frac{b^3 T_Z^3}{6} + \dots \right). \quad (7)$$

Для нахождения решения, более точно согласующегося с реальными результатами, необходимо в исходном дифференциальном уравнении учесть зависимость некоторых теплофизических параметров от T_Z (здесь T_Z – температура факела на острие электрода, т.е. при $z=0$) до Z . Если эти зависимости идентичны каким-либо рядам, то точность будет зависеть от количества взятых членов разложения.

Однако здесь следует подчеркнуть, что каждый новый член таких разложений, содержащий T_Z или z в явном, или, тем более, в неявном виде, резко усложняет решение, увеличивая громоздкость последнего порой в несколько раз.

Так, к примеру, учет в разложении $\sigma(T_Z)$ третьего члена вида $\frac{b^2}{2} T_Z^2$ увеличивает громоздкость примерно в четыре раза.

Решение дифференциального уравнения вида

$$\frac{\partial}{\partial Z} \left(\lambda_\phi \frac{\partial T_Z}{\partial Z} \right) = a \cdot E^2 + abE^2 T_Z + \frac{ab^2 E^2}{2} T_Z^2 - 2C_\epsilon \rho_\epsilon V_Z \frac{\partial T_Z}{\partial Z} - G_0, \quad (8)$$

где

$$\begin{aligned} G_0 = & \epsilon C_0 \phi S_{0\phi} 10^{-8} (T_\phi^4 - T_0^4) - \\ & - \frac{\rho_R h S_u}{\tau_0} [L_u + C_{nR} (T_u - T_n)(1 + k_{Hn})] + [L_n + C_R (T_n - T_0)] \times \\ & \times (1 + k_{Hn} + k_n) + 2\pi h T_0 \ln \frac{4h}{R_u + R_n} [C_R \rho_R (R_H - R_n)]^2 \times \\ & \times \left[1 - C_R \rho_R \frac{1}{\lambda_R} (R_H - R_n) \ln \frac{4h}{R_u + R_n} \right]^{-1}. \end{aligned} \quad (9)$$

при учете трех членов будет иметь следующий вид:

$$\begin{aligned} T(z) = & \\ = & e^{\int \left[-\left(\frac{2C_\epsilon \rho_\epsilon V_Z}{3\lambda_\phi} \right)^3 - \frac{abC_\epsilon \rho_\epsilon V_Z E^2}{3\lambda_\phi^2} + \frac{ab^2 E^2 T_Z}{2\lambda_\phi} + \sqrt{-\left[\left(\frac{2C_\epsilon \rho_\epsilon V_Z}{3\lambda_\phi} \right)^2 + \frac{abE^2}{3\lambda_\phi} \right]^3 + \left[\left(\frac{2C_\epsilon \rho_\epsilon V_Z}{3\lambda_\phi} \right)^3 + \frac{abC_\epsilon \rho_\epsilon V_Z E^2}{3\lambda_\phi^2} - \frac{ab^2 E^2 T_Z}{2\lambda_\phi} \right]^2} \right] dz} \times \\ & \times C_1 e^{-\frac{2C_\epsilon \rho_\epsilon V_Z z}{3\lambda_\phi}} + \end{aligned}$$

$$\begin{aligned}
 & e^{\frac{i\sqrt{3}-1}{2}Z} \sqrt{-\left(\frac{2C_6\rho_6V_Z}{3\lambda_\phi}\right)^3 - \frac{abC_6\rho_6V_Z E^2}{3\lambda_\phi^2} + \frac{ab^2 E^2 T_Z}{2\lambda_\phi} + \sqrt{\left[\left(\frac{2C_6\rho_6V_Z}{3\lambda_\phi}\right)^2 + \frac{abE^2}{3\lambda_\phi}\right]^3 + \left[\left(\frac{2C_6\rho_6V_Z}{3\lambda_\phi}\right)^3 + \frac{abC_6\rho_6V_Z E^2}{3\lambda_\phi^2} - \frac{ab^2 E^2 T_Z}{2\lambda_\phi}\right]^2}} \\
 & \times e^{-\frac{i\sqrt{3}+1}{2}Z} \sqrt{-\left(\frac{2C_6\rho_6V_Z}{3\lambda_\phi}\right)^3 - \frac{abC_6\rho_6V_Z E^2}{3\lambda_\phi^2} + \frac{ab^2 E^2 T_Z}{2\lambda_\phi} + \sqrt{\left[\left(\frac{2C_6\rho_6V_Z}{3\lambda_\phi}\right)^2 + \frac{abE^2}{3\lambda_\phi}\right]^3 + \left[\left(\frac{2C_6\rho_6V_Z}{3\lambda_\phi}\right)^3 + \frac{abC_6\rho_6V_Z E^2}{3\lambda_\phi^2} - \frac{ab^2 E^2 T_Z}{2\lambda_\phi}\right]^2}} \times \\
 & \times C_2 e^{-\frac{2C_6\rho_6V_Z Z}{3\lambda_\phi}} + C_3 e^{-\frac{2C_6\rho_6V_Z Z}{3\lambda_\phi}} \times \\
 & \times e^{-\frac{i\sqrt{3}+1}{2}Z} \sqrt{-\left(\frac{2C_6\rho_6V_Z}{3\lambda_\phi}\right)^3 - \frac{abC_6\rho_6V_Z E^2}{3\lambda_\phi^2} + \frac{ab^2 E^2 T_Z}{2\lambda_\phi} + \sqrt{\left[\left(\frac{2C_6\rho_6V_Z}{3\lambda_\phi}\right)^2 + \frac{abE^2}{3\lambda_\phi}\right]^3 + \left[\left(\frac{2C_6\rho_6V_Z}{3\lambda_\phi}\right)^3 + \frac{abC_6\rho_6V_Z E^2}{3\lambda_\phi^2} - \frac{ab^2 E^2 T_Z}{2\lambda_\phi}\right]^2}} \times \\
 & \times e^{\frac{i\sqrt{3}-1}{2}Z} \sqrt{-\left(\frac{2C_6\rho_6V_Z}{3\lambda_\phi}\right)^3 - \frac{abC_6\rho_6V_Z E^2}{3\lambda_\phi^2} + \frac{ab^2 E^2 T_Z}{2\lambda_\phi} + \sqrt{\left[\left(\frac{2C_6\rho_6V_Z}{3\lambda_\phi}\right)^2 + \frac{abE^2}{3\lambda_\phi}\right]^3 + \left[\left(\frac{2C_6\rho_6V_Z}{3\lambda_\phi}\right)^3 + \frac{abC_6\rho_6V_Z E^2}{3\lambda_\phi^2} - \frac{ab^2 E^2 T_Z}{2\lambda_\phi}\right]^2}} - \\
 & - \frac{1}{b} + \frac{1}{b} + \frac{2}{ab^2 E^2} \left\{ \begin{aligned} & 1 - \frac{2}{b^2} + \\ & \left[\varepsilon C_0 \varphi S_0 \phi 10^{-8} (T_\phi^4 - T_0^4) - \frac{\rho_R h S_u}{\tau_0} [L_u + C_R (T_u - T_n)(1 + k_{Hn})] \right] \\ & + [L_n + C_R (T_n - T_0) \times (1 + k_{Hn} + k_n) + \\ & + 2\pi Z T_0 \ln \frac{4Z}{R_u + R_n} [C_R \rho_R (R_H - R_n)]^2 \times \\ & \times [1 - C_R \rho_R \frac{1}{\lambda_R} (R_H - R_n) \ln \frac{4h}{R_u + R_n}]^{-1} \end{aligned} \right\}, \quad (10)
 \end{aligned}$$

где

$$\begin{aligned}
 T_Z = & \left(\frac{T_\phi}{2} - \frac{C_6 \rho_6 V_Z}{\sqrt{(2C_6 \rho_6 V_Z)^2 + 4ab\lambda_\phi E^2}} \right) \left[\sqrt{\left(\frac{2C_6 \rho_6 V_Z}{\lambda_\phi}\right)^2 + \frac{4abE^2}{\lambda_\phi}} - \frac{2C_6 \rho_6 V_Z}{\lambda_\phi} \right] \frac{1}{2} \\
 & \times e^{\frac{Z}{2} \left[\sqrt{\left(\frac{2C_6 \rho_6 V_Z}{\lambda_\phi}\right)^2 + \frac{4abE^2}{\lambda_\phi}} - \frac{2C_6 \rho_6 V_Z}{\lambda_\phi} \right]} - e^{-\frac{Z}{2} \left[\sqrt{\left(\frac{2C_6 \rho_6 V_Z}{\lambda_\phi}\right)^2 + \frac{4abE^2}{\lambda_\phi}} - \frac{2C_6 \rho_6 V_Z}{\lambda_\phi} \right]} \times \\
 & \times \frac{1}{2} \left(\frac{T_\phi}{2} + \frac{C_6 \rho_6 V_Z}{\sqrt{(2C_6 \rho_6 V_Z)^2 + 4ab\lambda_\phi E^2}} \right) \left[\sqrt{\left(\frac{2C_6 \rho_6 V_Z}{\lambda_\phi}\right)^2 + \frac{4abE^2}{\lambda_\phi}} - \frac{2C_6 \rho_6 V_Z}{\lambda_\phi} \right]. \quad (11)
 \end{aligned}$$

3. Заключение

Рассмотрен процесс взаимодействия высокочастотного факельного разряда с тонко- и толстопленочными элементами микросборок. Дано описание уравнения теплового баланса на границе раздела пленка-электрод. Получено выражение математической модели в виде распределения температуры факела по оси разряда для случая экспоненциальной зависимости электропроводности от температуры и без учета радиального распределения температуры. Рассмотрена возможность повышения точности модели при приемлемых значениях трудоемкости расчета. Получено соответствующее решение дифференциального уравнения.

4. Литература

- [1] Тихомиров, И.А. Электродинамика высокочастотного факельного разряда / И.А. Тихомиров, В.А. Власов, Ю.Ю. Луценко, А.А. Зорин // Известия Томского политехнического университета. – 2003. – Т. 306, № 1. – С. 21-29.

- [2] Власов, В.А. Определение электрических характеристик высокочастотного факельного разряда / В.А. Власов, Ю.Ю. Луценко, И.А. Тихомиров // Теплофизика и аэромеханика. – 2008. – Т. 15, № 1. – С. 131-137.
- [3] Качанов, А.В. Электродинамическая модель высокочастотного факельного разряда / А.В. Качанов, Е.С. Трехов // ЖТФ. – 1970. – № 11. – С. 340-345.
- [4] Качанов, А.В. Электродинамическое описание высокочастотного факельного разряда / А.В. Качанов, Е.С. Трехов, Е.П. Фетисов // Физика газоразрядной плазмы. – М.: Автоиздат. – 1968. – № 1. – С. 39-47.
- [5] Костин, А.В. Математическое моделирование взаимодействия высокочастотного факельного разряда с элементами конструкции радиоаппаратуры / А.В. Костин, М.Н. Пиганов, А.В. Столбиков // Вестник СГАУ. – 2011. – № 7. – С. 117-121.
- [6] Столбиков, А.В. Построение математической модели распределения температуры газа вдоль оси канала факельного разряда при взаимодействии с толстопленочными элементами микросборок / А.В. Столбиков, М.Н. Пиганов, А.В. Костин // Вестник Самарского государственного аэрокосмического университета. – 2011. – № 7. – С. 113-115.
- [7] Пиганов, М.Н. Подгонка сопротивления толстопленочных резисторов методом факельного разряда / М.Н. Пиганов, А.В. Волков // Техника средств связи. Сер. «Технология производства и оборудование». – 1985. – № 2. – С. 29-35.
- [8] Качанов, А.В. Некоторые вопросы генерации плотных плазменных струй в проточном факельном разряде / А.В. Качанов, Е.С. Трехов, Е.П. Фетисов // Сб. Физика газоразрядной плазмы – М.: Автоиздат, 1968. – Вып. 1. – С. 52-59.
- [9] Нейман, М.С. О факельном разряде / М.С. Нейман // Известия электропромышленности слабого тока. – 1935. – № 7. – С. 7-9.

Mathematical model of the interaction of a torch discharge with film elements

D.N. Novomeysky¹, M.N. Piganov¹

¹Samara National Research University, Moskovskoe Shosse 34A, Samara, Russia, 443086

Abstract. The process of interaction of a flare discharge with a resistive film is described, the thermal balance equation is considered based on which taking into account the exponential dependence of electrical conductivity on temperature a mathematical model of the interaction of a flare discharge with a resistive film is constructed, and the process of increasing the accuracy of a mathematical model of the interaction of a flare discharge with a resistive film is considered.